

การประยุกต์ข้อมูลธารณีฟิสิกส์ทางอากาศและข้อมูลโลกรสัมผัสเพื่อศึกษาธารณีวิทยา โครงสร้าง
และสภาพการแปรสัมฐานในพื้นที่จังหวัดเลย ภาคตะวันออกเฉียงเหนือ ประเทศไทย

นายคเณทร์ เหนี่ยวสุภาพ

ศูนย์วิทยทรัพยากร จุฬาลงกรณ์มหาวิทยาลัย

วิทยานิพนธ์นี้เป็นส่วนหนึ่งของการศึกษาตามหลักสูตรปริญญาวิทยาศาสตรดุษฎีบัณฑิต

สาขาวิชาธารณีวิทยา ภาควิชาธารณีวิทยา

คณะวิทยาศาสตร์ จุฬาลงกรณ์มหาวิทยาลัย

ปีการศึกษา 2547

ISBN 974-53-1503-6

ลิบสิทธิ์ของจุฬาลงกรณ์มหาวิทยาลัย

APPLICATION OF AIRBORNE GEOPHYSICAL AND REMOTE SENSING DATA
TO STRUCTURAL GEOLOGY AND TECTONIC SETTING
IN LOEI AREA, NORTHEASTERN THAILAND

Mr. Kachentra Neawsuparp

ศูนย์วิทยบรังษยการ
วิจัยและทดสอบวิทยาศาสตร์

A Dissertation Submitted in Partial Fulfillment of the Requirements

for the Degree of Doctor of Philosophy in Geology

Department of Geology

Faculty of Science

Chulalongkorn University

Academic year 2004

ISBN 974-53-1503-6

Thesis Title Application of Airborne Geophysical and Remote Sensing Data to Structural Geology and Tectonic Setting in Loei Area, Northeastern Thailand

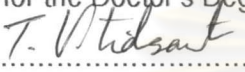
By Kachentra Neawsuparp

Filed of study Geology

Thesis Advisor Assoc. Prof. Punya Charusiri, Ph.D.

Thesis Co-advisor Assoc. Prof. Jayson Meyers, Ph.D.

Accepted by the Faculty of Science, Chulalongkorn University in Partial Fulfillment of the Requirements for the Doctor's Degree

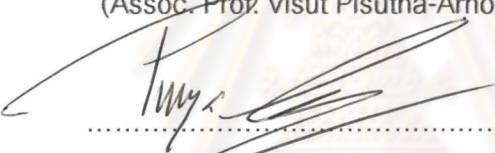
 Deputy Dean for Administrative Affairs,

(Assoc. Prof. Tharapong Vitidsant, Ph.D.) Acting Dean, The Faculty of Science

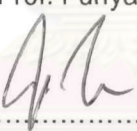
THESIS COMMITTEE

 Chairman

(Assoc. Prof. Visut Pisutha-Arnond, Ph.D.)

 Thesis Advisor

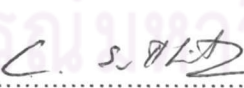
(Assoc. Prof. Punya Charusiri, Ph.D.)

 Thesis Co-advisor

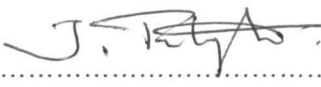
(Assoc. Prof. Jayson Meyers, Ph.D.)

 Member

(Prof. Kittichai Wattananikorn, Ph.D.)

 Member

(Asst. Prof. Chakkaphan Sutthirat, Ph.D.)

 Member

(Jarin Tulyatid, Ph.D.)

 Member

(Sommai Tachawan, Ph.D.)

คเซนทร์ เนนี่ยสูภพ : ชื่อวิทยานิพนธ์ APPLICATION OF AIRBORNE GEOPHYSICAL AND REMOTE SENSING DATA TO STRUCTURAL GEOLOGY AND TECTONIC SETTING IN LOEI AREA, NORTHEASTERN THAILAND อ.ที่ปรึกษา : รศ. ดร. ปัญญา จากรุศรี อ.ที่ปรึกษาร่วม : Assoc. Prof. Jayson Meyers, 175 หน้า. ISBN 974-53-1503-6.

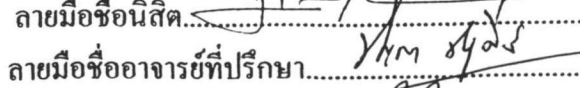
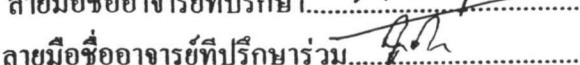
ในการศึกษาครั้งนี้ได้ใช้ผลการประมวลข้อมูลสำรวจธรณีฟิสิกส์ทางอากาศใหม่ เพื่อการแปลความหมาย หาความต่อเนื่องของหน่วยหินและโครงสร้างทางธรณีวิทยา โดยที่หน่วยหินก่อนมาหายู่ในโซ่อิคในพื้นที่ส่วนใหญ่ ถูกปกคลุมด้วยตะกอนดินป่าฯบันและตะกอนทางน้ำ

ข้อมูลความเข้มสนามแม่เหล็กทางอากาศสามารถเพิ่มประสิทธิผล (enhancement) โดยการกรอง สัญญาณซึ่งได้แก่ reduction to the pole, analytic signal, vertical derivative, directional cosine filter และ upward continuation การแปลความหมายข้อมูลแม่เหล็กทางอากาศจะทำร่วมกันกับ ข้อมูลแม่เหล็กไฟฟ้า ข้อมูลกัมมันตรังสี ข้อมูลดาวเทียม และข้อมูลธรณีวิทยาโดยใช้รีสาร์แคนเทคโนโลยีภูมิศาสตร์ (GIS)

จากข้อมูลธรณีฟิสิกส์ สามารถแบ่งพื้นที่ออกได้เป็น 3 พื้นที่ ได้แก่ พื้นที่ตะวันออก พื้นที่ตอนกลาง และ พื้นที่ตะวันตก โดยอาศัยความแตกต่างของค่าความเข้มสนามแม่เหล็กและรูปแบบโครงสร้างแม่เหล็ก พื้นที่ทั้งสาม ถูกแบ่งโดยรอยเลื่อนย้อนกลับมุมต่ำ (thrust fault) นอกจากนั้นข้อมูลความเข้มแม่เหล็กใช้ทำรูปแบบจำลอง การ วางแผนหินอัคนีสีเข้มได้ดีและหินแกรนิต

ผลการแปลความหมายพบว่าลักษณะของหินอัคนีสีเข้มในตะเข็บธรณีหลายทางตัวเอียงไปทางทิศตะวันออก หน่วยแม่เหล็กสูงกว่าตัวลดดอนแนวขอบพื้นที่ตะวันออกของแนวตะเข็บธรณีเลย ซึ่งแสดงคล้องกับแนวหินโค้งงอ (fold) และรอยเลื่อนย้อนกลับมุมต่ำของหินบะชอลต์ในยุคดิโวเนียน หินแกรนิตแทรกซ่อนในยุคเพอร์เมียนถึงไทร แอนฟิสิกมีลักษณะเป็นกลุ่มรูปวงกลม โดยในระดับลึกแสดงการแทรกซ่อนของหินเหล่านี้มาจากหินหนึดต่ำแห่งเดียว กัน หิน gyrofels ซึ่งแสดงลักษณะรูปแบบแม่เหล็กเป็นกลุ่มเล็กๆ กระจัดกระจาย (hummocky texture) แนวรอยเลื่อนในทิศทางตะวันออกเฉียงเหนือที่พบจากข้อมูลความเข้มแม่เหล็กแสดงลักษณะการแทรกดันหินแกน นิดแทรกซ่อนในยุคไทรแอนฟิสิกและหินตะกอนในยุคช่วงก่อน侏ราฟิสิกและแสดงลักษณะการเลื่อนไปทางซ้ายมือ (sinistral movement) เป็นส่วนใหญ่ประมาณ 0.5 กิโลเมตร

ผลการแปลความหมายข้อมูลธรณีฟิสิกส์ใหม่มีความสอดคล้องกับแผนที่ธรณีวิทยาที่มีอยู่ แต่มีความ ต่อเนื่องของลักษณะทางธรณีวิทยา รวมทั้งการพบหินอัคนีแทรกซ่อน และโครงสร้างทางธรณีวิทยาใหม่โดยเฉพาะ โครงสร้างในเชิงลึก ผลการศึกษาเหล่านี้นำไปสู่การศึกษาตำแหน่งและการพัฒนาการทางด้านธรณีแปรสันฐาน ของพื้นที่จังหวัดเลยและใกล้เคียงได้ชัดเจนขึ้น

ภาควิชา	ธรณีวิทยา	ลายมือชื่อนิสิต..... 
สาขาวิชา	ธรณีวิทยา	ลายมือชื่ออาจารย์ที่ปรึกษา..... 
ปีการศึกษา	2547	ลายมือชื่ออาจารย์ที่ปรึกษาร่วม..... 

4373862023: MAJOR GEOLOGY

KEY WORD: AIRBORNE GEOPHYSICS / TECTONIC / LINEAMENT / STRUCTURAL GEOLOGY / LOEI

KACHENTRA NEAWSUPARP: APPLICATION OF AIRBORNE GEOPHYSICAL AND REMOTE SENSING DATA TO STRUCTURAL GEOLOGY AND TECTONIC SETTING IN LOEI AREA, NORTHEASTERN THAILAND. THESIS ADVISOR: ASSOC. PROF. PUNYA CHARUSIRI, THESIS COADVISOR : ASSOC.PROF. JAYSON MEYERS, 175 pp. ISBN 974-53-1503-6.

Re-reprocessed and modeling of detailed geophysical data are used for interpreting the continuity of geological units and structures, particularly where most of the pre-Cenozoic rock units are overlain by regolith, recent soils, and alluvial deposits.

Aeromagnetic data were run through a series of filter routines including reduction to the pole, analytic signal, vertical derivative, directional cosine filtering, and upward continuation. Interpretation of all the processed aeromagnetic data has been carried out by integrating with electromagnetic data, radiometric data, enhanced Landsat images and GIS geological information.

Three geological domains (eastern, central, and western) were interpreted from the enhanced geophysical data corresponding assemblages of contrasting magnetic intensities, as well as different regional magnetic structures. The magnetic data were also used to model the geometry of mafic units and granitic intrusions in 3 dimensions. Magnetic mafic bodies in the Loei Suture Zone were found to display their dip direction mainly to the east. High magnetic intensity units running along the eastern side of the Loei Suture Zone correspond fairly well to folded and thrust faulted basalt lava flows of Devonian age. A few Permo-Triassic felsic to intermediate lava flows are identified by their hummocky magnetic textures. Northeast-trending faults observed in the magnetic data cross-cut Triassic granite intrusions and northwest-trending, mostly producing more than 0.5 km of sinistral offsets.

The new interpretation from this study agrees with the existing geological bedrock mapping in a broad sense, but shows differences in the continuity of geological features and extent of granitoid intrusions. The geophysical interpretation also contains more large-scale structural detail, particularly at depth. These new results and other relevant previous work lead to the clarification of tectonic setting and its evolution of the Loei study and nearby areas.

Department	Geology	Student's signature.....
Field of study	Geology	Advisor's signature.....
Academic year	2004	Co-advisor's signature.....

K. Neawsuparp
Punya Charusiri
Jayson Meyers

Acknowledgements

I appreciate with sincere thanks to my supervisor, Assoc. Prof. Dr. Punya Charusiri and Co-advisor, Assoc. Dr. Jayson Meyers, for their support, encouragement and patience, and for their assistance in times of particular need. I also thank Assoc. Prof. K. Hisada (Tsukuba University, Japan) for his discussions during field work. Furthermore, I would like to thank V. Daorerk, the head of Department of Geology, Chulalongkorn University for allowing us to use all facilities at the department. V. Galong, J. Tulyatid and W. Ranggabpit, Department of Mineral Resources (DMR), are thank for their fruitful discussion on previous field and remote-sensing information, respectively.

I deeply acknowledge with sincere thanks S. Pothisat, the Director General of DMR, for his encouragement and permission to publish the results. I also gratefully many thank Thailand Research Fund for sponsorship of the research (TRF grant no. PHD/0017/2545).

During the processing and modeling work at the in Curtin University, all staff members and researchers in Department of Geophysical Exploration gave me assistance.. Credit for preparation the rock samples goes to laboratory team of Department of Mineral Resource, and many thank to Dr W. Lohawijarn and Dr. T. Bhongsuwan, Department of Physics, Prince of Songkla University, for measuring the magnetic susceptibilities.

I also wish to thank my wife, Kotchamas, for her constant support and encouraging me.

Table of Contents

	page
Abstract in Thai.....	iv
Abstract in English.....	v
Acknowledgements.....	vi
List of Tables.....	xi
List of Figures.....	xii
Chapter 1 Introduction.....	1
1.1 Background and problems	1
1.2 Literature review.....	3
1.3 Aim and scope of work.....	6
1.4 Location of study area.....	6
Chapter 2 Geology.....	8
2.1 Regional geology.....	8
2.2 Tectonic setting.....	9
2.3 Lithology and stratigraphy	13
2.4 Mineralization.....	19
Chapter 3 Data Sets.....	23
3.1 Airborne geophysical data	23
3.1.1 Previous airborne geophysical data.....	23
3.1.2 Airborne electromagnetic (AEM) follow-up survey.....	24
3.1.2.1 Aeromagnetic data acquisition	25
3.1.2.2 Electromagnetic data acquisition.....	26

3.2 Other data sets.....	28
3.2.1 Geological data.....	28
3.2.2 Remote sensing data.....	28
3.2.3 Radiometric data	29
3.2.4 Gravity data.....	30
3.2.5 Digital elevation data.....	30
3.2.6 Mineral occurrences.....	30
3.2.7 Magnetic susceptibility data.....	31
 Chapter 4 Methods.....	33
4.1 Aeromagnetic data	33
4.1.1 Data enhancement methods.....	34
4.1.1.1 Reduction to the pole (RTP).....	35
4.1.1.2 Vertical derivative.....	36
4.1.1.3 Analytic signal	36
4.1.1.4 Downward/Upward continuation.....	37
4.1.1.5 Automatic gain control	38
4.1.1.6 Directional cosine filter	38
4.1.2 Interpreting magnetic methods.....	38
4.1.3 Modeling method.....	41
4.1.3.1 Linear inversion technique.....	41
4.1.3.2 Non-linear inversion technique	41
4.2 Other geophysical methods.....	42
4.2.1 Electromagnetic method	42
4.2.2 Remote sensing method	43
4.2.3 Radiometric method.....	45
4.2.3 Gravity method.....	45
4.2.4 Digital elevation method.....	45
4.2.5 Magnetic susceptibility method.....	46
4.3 Software application.....	46
4.3.1 Enhancement.....	46

4.3.2 Modeling.....	46
4.3.3 Remote sensing data.....	47
4.3.4 Geographic information system.....	47
 Chapter 5 Experiments with Low Magnetic Reduction to the Pole.....	49
5.1 Issues with low latitude TMI response.....	29
5.2 Artifacts associated with data filtering.....	50
5.2.1 Forward modeling and RTP tests.....	51
5.3 Preferred solution.....	54
5.4 Comparison of the magnetic reduction to the pole in Loei area.....	57
 Chapter 6 Result and Interpretation.....	64
6.1 Aeromagnetic results.....	64
6.2 Comparison with other results.....	78
6.2.1 Airborne electromagnetic result.....	78
6.2.2 Airborne radiometric Result.....	83
6.2.3 DEM result.....	86
6.2.4 Gravity result.....	88
6.2.5 Remote sensing result.....	88
6.2.6 Magnetic susceptibility result.....	97
6.2.6.1 Induce and remanent magnetization.....	97
6.3 Geophysical Interpretation	102
6.3.1 Magnetic domain	102
6.3.1.1 Eastern domain.....	102
6.3.1.2 Central domain	105
6.3.1.3 Western domain.....	107
6.3.2 Magnetic structures.....	107
6.4 Magnetic modeling.....	111
6.5 Field verification.....	116

Chapter 7 Discussion.....	128
7.1 RTP correction.....	128
7.2 Magnetic responses related to rock units.....	129
7.3 Magnetic interpretation related to structural features.....	132
7.4 Magnetic response related to tectonic evolution.....	137
7.5 Magnetic units and structures related to mineral deposits.....	146
Chapter 8 Conclusion.....	150
References.....	153
Appendices.....	166
Appendix I.....	167
Appendix II.....	169
Appendix III.....	172
Curriculum Vitae.....	175

ศูนย์วิทยทรัพยากร
จุฬาลงกรณ์มหาวิทยาลัย

List of Tables

Table	page
3.1 Specification of the Loei AEM high-resolution aeromagnetic survey (KESIL, 1989).....	26
3.2 Electromagnetic system configuration of AEM survey (KESIL, 1989).....	27
4.1 Result displays compared with the magnetic characteristic and possible cause effects.....	39
4.2 Software programs for application in this study.....	47
7.1 A summary of time interval related to tectonic setting in Loei area.....	145

ศูนย์วิทยทรัพยากร
จุฬาลงกรณ์มหาวิทยาลัย

List of Figures

Figure	page
1.1 Index map and location of study area.....	7
2.1. Regional map of mainland Southeast Asia showing the cratonic basement of Shan-Thai and Indochina plates (reproduced from Bunopas, 1991).....	10
2.2 Locations of Nan and Loei suture zones (from Charusiri, 1997).....	12
2.3 Geological map of the northern Loei area (modified from MRDP,1987 and Chairangsee et al.,1990).	15
3.1 Index map of the Loei study area showing different kinds of data set applied in this study.....	32
.4.1 Flow chart showing the step of research methods in this study.....	48
5.1 Forward modelling of circular and cylinder magnetic feature as in the Loei study area showing dipole of total magnetic responses of circular and cylinder features at the inclination of 22° , and the realistic idea for RTP result at the inclination of 90°.....	52
5.2 Forward modelling of the RTP process using the inclination 22 ° showing the distortion at the cylinder feature.	53
5.3 An index to the aeromagnetic data strips, its original inclination and the suggest I' from Tulyatid (1995).....	60

5.4 (a) the residual magnetic map of the Loei area.	
(b) the reduction to the pole using the secondary inclination 67°	61
5.5 RTP map of the Loei area using the OASIS program by applying the different I' . (a) 22° (b) 30° (c) 45° and (d) 60°	62
5.4 RTP map of the Loei area using the ChrisDBF program by applying the different I' . (a) 22° (b) 30° (c) 45° and (d) 60°	63
6.1 Aeromagnetic survey map of the Loei area showing total magnetic grid image, with grid cell of about 200m.	66
6.2 Aeromagnetic survey map of the Loei area showing residual magnetic intensity grid after removal of IGRF.....	67
6.3 Aeromagnetic survey map of the Loei area showing reduction to the pole (RTP) image using the second inclination (I') 30°	68
6.4 Aeromagnetic survey map of the Loei area showing analytic signal image of total magnetic intensity.....	69
6.5 Aeromagnetic survey map of the Loei area showing first vertical derivative with automatic gain control image.....	71
6.6 Aeromagnetic survey map of the Loei area showing second vertical derivative with automatic gain control image.....	72
6.7 Aeromagnetic survey map of the Loei area showing total magnetic intensity map with directional cosine filter a north-south direction using rejected direction.....	73

6.8 Aeromagnetic survey map of the Loei area showing total magnetic intensity map with directional cosine filter a northwest-southeast direction using pass direction.....	74
6.9 Aeromagnetic survey map of the Loei area showing upward continuation images using the different distance from the ground level 500 m.	75
6.10 Aeromagnetic survey map of the Loei area showing upward continuation images using the different distance from the ground level 1,000 m.....	76
6.11 Aeromagnetic survey map of the Loei area showing upward continuation images using the different distance from the ground level 3,000 m.....	77
6.12 Airborne electromagnetic survey map of the Loei area showing inphase component responses at 912 Hz in coplanar configuration.	79
6.13 Airborne electromagnetic survey map of the Loei area showing quadrature component responses at 912 Hz in coplanar configuration.....	80
6.14 Airborne electromagnetic survey map of the Loei area showing conductivity responses at 4,200 Hz in coplanar configuration.	82
6.15 Radiometric ternary map with 1 km line spacing of the Loei study area.....	84
6.16 Digital elevation map (DEM) of the Loei study area.	87
6.17 Color gravity map of the Loei study area showing with stations of gravity measurements.....	89
6.18 Landsat TM5 band 7 image covering the Loei study area.....	90

6.19. Landsat TM 5 band 7 image with enhancement using the directional filter in northeast-southwest direction.	91
6.20 Landsat TM 5 band 7 image with enhancement using the directional filter in northwest-southeast direction.	92
6.21 False color composite map of Landsat TM 5 band 7, 4, and 1 with red, green and blue, respectively.	94
6.22 False color composite map of Landsat TM 5 band 7, 5, and 4 with red, green and blue, respectively.	95
6.23 Landsat TM 5 after enhancement using principle component analysis (PCA) of the Loei study area.	96
6.24 Location of rock samples and field check area plotting in the geological map (MRDP, 1988 and Chairangsee el al., 1990).	98
6.25 Observed and common susceptibility ranges of various minerals and rock types (Clark,1997).....	100
6.26 Observed and common ranges for Koeningsberger ratios of various rock types (Clark, 1997).	101
6.27 Geophysical interpretation map showing magnetic domain and major geological structures in the Loei study area.	104
6.28 Detailed maps based on geophysical interpretation map showing major geophysical domain and their sun-domain (A), NE strike slip faults with left-lateral sense of movement in C3 (B),	

high circular magnetic units in W2 crosscut by the NE-trending right lateral fault (C), and major Sinistral north-trending strike slip faults in high magnetic unit in E1, and axial surface (D)	109
6.29 RTP aeromagnetic map of the Loei study area showing major magnetic domains and magnetic profiles at attitude (A) at 1,920,000N, (B) 1,930,000 N, (C) 1,940,000 N, (D) 1,9500,00N, (E) 1,960,000 N, (F) 1,970,000N and (G) 1,980,000 N.	113
6.30 Magnetic model as interpreted from line C, D and E in Fig.6.27. Note that M1, M2, B1,B2, D1,D2,D3 ,D4, D5, U1,U2,U3 and U4 indicated high magnetic anomalous zone.....	114
6.31 Perspective view of the Loei study area showing magnetic model in the dimension corresponding to the models illustrated in Fig. 6.28.	115
6.32. Man-made exposures in the E1 sub-domain and site A at location 834943E/1943409N (Ban Bun Tan 1) showing serpentinized ultramafic rocks with anatomizing textures.	118
6.32 (cont) Back hole-cut exposure at Ban Bun Tan 2 at location 837128E/1941464 N showing strongly deformed serpentinite and large of deformed and fractured clastic rocks.	119
6.33 Lithological map of Ban Bun Tan area, Suwan Khuha, Nong Bua Lumpu Province.	120
6.34 Natural granite exposure at location 785630E/1933020N in sub-domain or site B of Fig.6.24 showing silicified granodiorite with disseminated sulfide mineral (1-2%) and meta sedimentary rocks.	121

6.35 Natural exposure of site C at location 792475E/1929553N in C2 sub-domain showing a highly weathering mudstone and. expose quartz striking north with 70° dipping to the east.	122
6.36. Man-made exposure of hornfel/skarn rocks with high magnetic anomaly and circular feature at Ban That located in the W2 sub-domain at 784976E/1961325N showing skarn rock and westward dipping magnetite/hematite skarn.	123
6.37. Artificial exposure of vein-filling fractures in clastic rocks (W1 sub-domain) characterized by high magnetic and EM anomaly at location 783520 E/ 1920800N in the Thung Kham mine area showing quartz-feldspar and iron-rich veins and veinlets in the red silstone.	125
6.38. Bulldozer –cut exposures of folded shale and chert beds in the C2 sub-domain nearby the W1 sub-domain at location 787016E/1943671N showing open folded strata of shale and silstone with the fold axis almost in the north-south direction.....	126
6.39 Man-made exposure of Devonian bedded ribbon chert interbedded with thinly bedded tuffaceous silstone showing tight and faulted recumbent fold, in C3 sub-domain at location 810619E/1966760N.....	127
7.1 (A) Comparison of the magnetic lineaments (red color) with the geologic map (black color) modified from MRDP (1987) and Chairangsee et al.(1990), (B)Comparison of the magnetic lineaments (red color) with major lineaments (cyan color) from Land sat TM5 modified from Neawsuparp and Charusiri(2000).	136

7.2 Magnetic profiles lines AA', BB', and CC' showing the high magnetic anomalies corresponding with the igneous intrusive rocks in the Loei study area.	139
7.3 Model for the tectonic evolution of the Loei and nearby areas.....	141
7.3 Model for the tectonic evolution of the Loei and nearby areas (cont.).	142
7.4 Mineral occurrences in the Loei study area.....	147
7.5 Schematic cross-section through on island with a well-developed outer arc showing principal type of mineralization (Mitchell and Garson, 1984)	148